

- Berg J. H., Wheeler E. P. Osumilite of deep-seated origin in the contact aureole of the anorthositic Nain complex. *Labrador J. Amer. Miner.* 1976, Vol. 61, P. 29—37.
- Brown G. E., Gibbs G. V. Refinement of the crystal structure of osumilite // Amer. Miner. 1969, Vol. 54, P. 101—116.
- Chinner G. A., Dixon P. D. Irish osumilite // Miner. Mag. 1973, Vol. 39, P. 189—192.
- Deer W. A., Howie R. A., Zussmann J. Rock-Forming Minerals. 1B: Disilicates and Ring Silicates, Second edition. London: Geological Society, 1986. P. 541—558.
- Efmi C., Brigatti M. F., Pasquali L., Montecchi M., Laurora A., Malferrari D., Nannarone S. Crystal chemistry, surface morphology and X-ray photoelectron spectroscopy of Fe-rich osumilite from Mt. Arci, Sardinia (Italy) // Physics and Chemistry of Minerals. 2010, Vol. 37, P. 561—569.
- Grew F. S. Osumilite in the sapphirine-quartz terrane of Enderby Land, Antarctica: implications for osumilite petrogenesis in the granulite facies // Amer. Miner. 1982, Vol. 67, P. 762—787.
- International Mineralogical Association: Commission on New Minerals and Mineral Names // Miner. Mag. 1980, Vol. 43, P. 1053—1055; <http://pubsites.uws.edu.au/ima-cmmn/initial.htm&sa>
- Miyashiro A. Osumilite, a new silicate mineral, and its crystal structure // Amer. Miner. 1956, Vol. 41, P. 104—116.
- Petříček V., Dušek M., Palatinus L. Jana 2006. Structure Determination Software Programs. Praha: Institute of Physics. 2006.
- Seryotkin Y. V., Sokol E. V., Bakakin V. V., Likhacheva A. Y. Pyrometamorphic osumilite: occurrence, paragenesis, and crystal structure as compared to cordierite // Eur. J. Miner. 2008, Vol. 20, P. 191—198.
- Schreyer W., Hentschel G., Abraham K. Osumilith in der Eifel und die Verwendung dieses Minerals als petrogenetischer Indikator // Tschermaks Miner. Petrogr. Mitteil. 1983, Vol. 32, P. 215—234.

Ключевые слова: стеклита фумаролы, вулкан Толбачик

M. N. MURASHKO, I. V. F.
A. E. ZADOV, M. E. ZELE
(KAMCHATKA, RUSSIA).

Стеклита, $\text{KAl}(\text{SO}_4)_2$, has a second seconc of the Norcano at Kamchatka. On the basis of Minerals, Nomenclature and The name steklite has been redefined by technogenic analogue from the Russian steklo — glass, w Tolbachik, steklite associates with hematite, ilmenite, etc. It occurs in $\{001\}$ up to 30 mkm in thickness in openwork aggregates or roeaus. The cleavage is $\{001\}$; the cleavage is optically uniaxial ($-$). The data is: Na_2O 0.09, K_2O 18.1 wt %. The empirical formula: $(\text{Al}_{0.925}\text{Fe}_{0.066}\text{Mg}_{0.003}\text{Mn}_{0.001})_2$ $c = 7.9936(5)$ Å, $V = 154.76$ (d. $\text{A} = \frac{1}{2}[\text{hkl}]$) arc: 8.02—34.660 $\pm 19[003]$, 2.364—25[110] (studied for a microtwinned AlO_6 regional prisms to form interlayer space. The type specimen Museum of the Russian Academy of Sciences, Moscow, Russia).

Key words: steklite, new volcano, Kamchatka.

УДК 549.762 + 548.736 (571.66)

ЗРМО. № 4. 2012 г.
Zapiski RMO. N 4. 2012

* Д-р М. Н. МУРАШКО, ** к. г. н. И. В. ЗЕДОВ, *** д-р С. В. КРИВОВИЧЕВ ***
4. Н. ЧЕРНЯТЬЕВА *** В. О. ЖАСКУРТ, ** А. Е. ЗАДОВ, **** М. Е. ЗЕЛЕНИСКИЙ ****

СТЕКЛИТ $\text{KAl}(\text{SO}_4)_2$: НАХОДКА НА ВУЛКАНЕ ТОЛБАЧИК (КАМЧАТКА, РОССИЯ), УСТАНОВЛЕНИЕ СТАТУСА МИНЕРАЛЬНОГО ВИДА И КРИСТАЛЛИЧЕСКАЯ СТРУКТУРА¹

* ЗАО «Систематическая минералогия». 199178 Санкт-Петербург, 11-я линия, 44.

e-mail: tzmizagashko@gmail.com

** Московский государственный университет, геологический ф-т. 119991, Москва, Воробьевы горы

*** Санкт-Петербургский государственный университет, геологический ф-т.

199034, Санкт-Петербург, Университетская наб. 79

**** НИИ «Теплохим», 127238, Москва, Дмитровское шоссе, 71

***** Институт экспериментальной минералогии РАН,

142432, Московская обл., г. Черноголовка, ул. Институтская, 4

Стеклита $\text{KAl}(\text{SO}_4)_2$ установлена в волнах фумаролы Яловитая на втором шлаковом конусе Северного прорыва Большого трещинного Толбачинского извержения, вулкан Толбачик, Камчатка, Россия. По результатам изучения этого материала он утвержден Комиссией по новым минералам, номенклатуре и классификации MMA как минеральный вид (IMA №. 2011-041). Эмпирическая формула (расчет на O_8): $(\text{K}_{0.97}\text{Na}_{0.08}\text{Ca}_{0.04})_2\text{Al}_{0.925}\text{Fe}^{3+}_{0.066}\text{Mg}_{0.003}\text{Mn}_{0.001})_2\text{SO}_4$. Стеклита тригональный, $P321$, $a = 4.7281(3)$, $c = 7.9936(5)$ Å, $V = 154.76(17)$ Å³, $Z = 1$. В структуре стеклита (изучена на микросканирующем микрокристалле, $R = 0.0732$) тетраэдры SO_4 соединены по общим O -вершинам с искаженными тригональными призмами AlO_6 с образованием слоев $[\text{Al}(\text{SO}_4)_2]$, комиланарных (001), а катионы K^+ располагаются в межслоевом пространстве. Гравийный образец стеклита с Толбачика передан в Минералогический музей им. А. Е. Ферсмана РАН в Москве.

¹ Стеклита в качестве минерального вида и его название утверждены Комиссией по новым минералам, номенклатуре и классификации MMA 2 июня 2011 г. (IMA №. 2011-041).

Тригональный сульфат: синтетическое соединение. Он широко применяется в медицине как косметического сульфата решена бс

В природе аналогичные на современном. 1962). Позже она отмечена в Америки — Исаилько Минералогической характеристиках не приводилось, ли ветствует синтетическом с = 7.96 Å, фигурирующее

В качестве минерала но в составе высокотемпературных месторождениях Восточного обнаружил Б. В. Чест № 47 в Копейске на Южном анализе и порошковой ре ской о тригонального KAl_2 казатели преломления, п также химические свойства от русского слова «стекл

aurole of the anorthositic Nain
// Amer. Miner. 1969, Vol. 54.

P. 189—192.
ates and Ring Silicates. Second

(D., Nannarone S. Crystal che-
sumilite from Mt. Arci, Sardinia

Antarctica: implications for osu-
52—787.

s and Mineral Names // Miner.
alist.htm&sa

// Amer. Miner. 1956, Vol. 41.

ftware Programs. Praha: Institu-

raphie osumilite: occurrence, pa-
8, Vol. 20, P. 191—198.

/erwendung dieses Minerals als
32, P. 215—234.

Поступила в редакцию
15 февраля 2012 г.

ЗРМО, № 4, 2012 г.
Zapiski RMO, № 4, 2012

РИВОВИЧЕВ, ***
Л. ИЛЕНСКИЙ, ***

Ф. ТОЛБАЧИК СТАТУСА АЯ СТРУКТУРА

бура, 11-я линия, 44;

91. Москва. Воробьевы горы
геологический ф-т.
5, 79
шоссе, 71
и РАН,
умская, 4

Втором шлаковом конусе Се-
вулкан Толбачик, Камчатка,
иссий по новым минералам.
№. 2011-041). Эмпирическая
 $Mg_{0.003}Mn_{0.01}Fe_{0.995}S_{2.00}O_8$,
76(17) Å, Z = 1. В структуре
32) тетраэдры SO_4 соединены
 AlO_4 с образованием слоев
железом пространстве. Уга-
зей им. А. Е. Фермана РАН

иссий по новым минералам,

Ключевые слова: стеклит, новый минеральный вид, сульфат, кристаллическая структура, возго-
ты фумарол, вулкан Толбачик, Камчатка.

M. N. MURASJKO, I. V. PEKOV, S. V. KRIPOVICHEV, A. P. CHERNYATYEVA, V. O. YAPASKURT,
A. E. ZADOV, M. E. ZELENSKY. STEKLITE, $KAl(SO_4)_2$: THE FIND AT TOLBACHIK VOLCANO
(KAMCHATKA, RUSSIA). VALIDATION AS A MINERAL SPECIES AND CRYSTAL STRUCTURE

Steklite, $KAl(SO_4)_2$, has been found in the sublimates of Yadvitaya («Poisonous») fumarole at the Second scoria cone of the Northern Breakthrough of the Great Tolbachik Fissure Eruption, Tolbachik volcano at Kamchatka. On the base of results of its study, it was approved by the IMA Commission on New Minerals, Nomenclature and Classification (CNMNC) as the valid mineral species (IMA N 2011-041). The name steklite has been remained for the mineral — as it was named by Chesnokov et al. (1995) for its technogenic analog from burnt dump of the coal mine № 47 at Kopeisk (the South Urals, Russia); from the Russian *steklo* — glass, with allusion to the visual similarity of its lamellae to thin glass platelets. At Tolbachik, steklite associates with alumoklyuchevskite, langbeinite, euhchlorite, fedotovite, chalcocyanite, hematite, lyonsite, etc. It occurs as hexagonal or irregularly shaped lamellar crystals (with principal form {001}) up to 30 mkm in thickness, and up to 0.2 mm, rarely to 1 mm in width, often split. They are combined in openwork aggregates or thin crusts up to 1.5×2.5 cm. Steklite is transparent, colorless, luster vitreous. The cleavage is {001} perfect. The mineral is brittle; Mohs' hardness 2½. D_{calc} is 2.797 g/cm³. Steklite is optically uniaxial (+), $\omega = 1.546(2)$, $e = 1.533(3)$. The chemical composition (electron-microprobe data) is: Na_2O 0.09, K_2O 18.12, CaO 0.08, MgO 0.03, Fe_2O_3 2.02, Al_2O_3 18.18, SO_3 61.80, total 100.37 wt %. The empirical formula calculated on the basis of 8 O *apfu* is: $(K_{0.997}Na_{0.008}Ca_{0.004})_{2.1009} (Al_{0.925}Fe_{0.066}Mg_{0.003}Mn_{0.001})_{2.095}S_{2.00}O_8$. Steklite is trigonal, space group $P321$, $a = 4.7281(3)$, $c = 7.9936(5)$ Å, $V = 154.76(17)$ Å³, $Z = 1$. The strongest reflections of the X-ray powder pattern (d , Å— $[hkl]$) are: 8.02—34[001], 4.085—11[100], 3.649—100[011, 101], 2.861—51[012, 102], 2.660—19[003], 2.364—25[110], 2.267—14[111, 111, 103], 1.822—12[022, 202]. In the steklite structure (studied for a microtwinned crystal, $R = 0.0732$), the SO_4 tetrahedral anions share corners with distorted AlO_4 regional prisms to form $[(Al, Fe)(SO_4)_2]$ layers coplanar to (001), the K^+ cations are located in the interlayer space. The type specimen of steklite from Tolbachik is deposited in the Fersman Mineralogical Museum of the Russian Academy of Sciences, Moscow.

Key words: steklite, new mineral species, sulphate, crystal structure, fumareles sublimate, Tolbachik volcano, Kamchatka.

ВВЕДЕНИЕ

Тригональный сульфат калия и алюминия $KAl(SO_4)_2$ давно и хорошо известен как синтетическое соединение под названием «жженые квасцы», или «безводные квасцы». Он широко применяется в различных областях химической промышленности, в медицине как косметическое средство. Кристаллическая структура этого тригонального сульфата решена более 40 лет назад (Manoli et al., 1970).

В природе аналогичная фаза впервые была зафиксирована в вулканических эксталиях на современном лавовом куполе Шовашинзан, Хоккайдо, Япония (Mizutani, 1962). Позже она отмечалась в возгонах фумарол двух активных вулканов Центральной Америки — Исалько в Сальвадоре и Сантьягито в Гватемале (Stoiber, Rose, 1974). Минералогической характеристики этого сульфата в обеих цитированных публикациях не приводилось, лишь отмечалось, что по порошковой рентгенограмме он соответствует синтетическому $KAl(SO_4)_2$ с параметрами тригональной ячейки $a = 4.70$, $c = 7.96$ Å, фигурирующему в картотеке ASTM под номером 3-337.

В качестве минералоподобной фазы это соединение было кратко охарактеризовано в составе высокотемпературных продуктов угольных пожаров на антрацитовых месторождениях Восточной Пенсильвании, США (Lapham et al., 1980). В 1991 году его обнаружил Б. В. Чесноков в подобной обстановке на горском терриконе шахты № 47 в Копейске на Южном Урале. По данным качественного электронно-зондового анализа и порошковой рентгенограмме было установлено, что это аналог синтетического тригонального $KAl(SO_4)_2$. Для конейского образца были также определены показатели преломления, получен КР-спектр, изучены некоторые другие физические, а также химические свойства. Б. В. Чесноков с соавторами назвал эту фазу стеклитом, от русского слова «стекло», поскольку ее бесцветные прозрачные крупные пластинчи-

тыс кристаллы очень похожи на тонкие стеклянны пластинки. Копейский стеклит образует гексагональные или тригональные пластинчатые кристаллы до 0.5 мм в поперечнике и до сотых долей миллиметра в толщину, царосшие вместе с апатитом и неидентифицированным безводным сульфатом K, Fe и Al на поверхность кусков артилита, оплавленных и спеченных в результате горения бурого угля в терриконе. Температурный интервал формирования стеклита оценен как 600—750 °C (Чесноков и др., 1995).

В соответствии с правилами, принятыми в начале 1990-х годов Международной минералогической ассоциацией (ММА), вещества, возникшие в результате хозяйственной деятельности человека, искусственные (т. е. полученные намеренно) или же техногенные (такие, получить которые не было целью, но они тем не менее образовались как продукты химических процессов, инициированных человеком), не считаются минералами. К таким техногенным продуктам отнесены и фазы, возникшие в результате пожаров на угольных разработках и их отвалах. Таким образом, стеклит не был признан минеральным видом, но его название тем не менее вошло в употребление. Например, в крупнейших базах данных по кристаллическим структурам (ICSD) и порошковым рентгенограммам (JCPDS-ICDD) под названием стеклит фигурирует как техногенный материал из Копейска (ICDD 47-1883), так и синтетический $KAl(SO_4)_2$ (ICSD 6305 и 60170, ICDD 74-0082).

Авторами настоящей статьи аналогичная фаза установлена среди фумарольных возгонов (сублиматоров) вулкана Толбачик на Камчатке и подробно изучена. Мы сочли наиболее правильным сохранить название стеклит в знак уважения к авторам первого детального описания, выполненного на техногенном материале.

Эталонный образец стеклита с Толбачика, голотип этого минерального вида, передан в Минералогический музей им. А. Е. Ферсмана РАН в Москве, регистрационный № 41091.

УСЛОВИЯ НАХОЖДЕНИЯ И ОБЩАЯ ХАРАКТЕРИСТИКА

Стеклит найден в возгонах фумаролы Ядовитая на Втором шлаковом конусе Северного прорыва Большого грязинного Толбачинского извержения (БГТИ) 1975—1976 гг. Шлаковые конусы БГТИ, возникшие к югу от вулкана Плюсик Толбачик (Большое..., 1984), по сей день проявляют значительную фумарольную активность. В их верхних частях наблюдаются выходы газов с температурой до 480 °C (данные на 2010 г.). Фумарольные газы здесь, по данным одного из авторов (М. Г. З.), более чем на 99 % состоят из воздуха, а оставшаяся часть представлена водяным паром и кислотными компонентами, в первую очередь CO_2 , HCl и HF . Также, по-видимому, в этих газах содержится небольшое количество летучих соединений металлов. Второй шлаковый конус Северного прорыва имеет объем около 0.1 км³ и высоту 300 м. Здесь сосредоточено наибольшее количество интересных проявлений фумарольной минерализации. Характеристика экскавационных минералов Толбачика дана в целом ряде работ, в первую очередь Л. П. Вергасовой и соавторами, многие годы посвятивших исследованию этих объектов и открывших здесь почти 30 новых минералов. Базовые данные по минералогии и генетическим особенностям фумарольных сублиматоров Толбачика собраны в обзорной статье (Вергасова, Филатов, 1993).

Фумарола Ядовитая — не только самый яркий в минералогическом отношении объект Толбачика, но и вообще одно из наиболее богатых проявлений экскавационной паустулканической минерализации в мире, выделяющееся очень широким разнообразием минералов. В ее возгонах и продуктах их низкотемпературного изменения на нынешний день установлено 55 минеральных видов, всего же в фумаролах Второго шлакового конуса найдено уже более 100 минералов. Фумарола Ядовитая представляет собой открытую полость шириной 1.5 м и глубиной около 2 м. Ее стены покрыты толстыми корками сублиматоров, частично выветрелых и измененных метасорными включениями. Температура в глубине полости продолжает оставаться высокой — до 340 °C

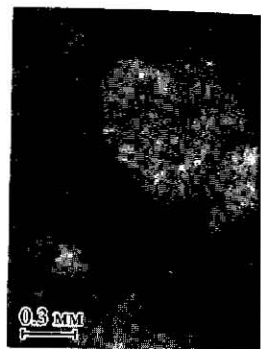


Рис. 1. Агрегаты стеклита на сферулитах. σ — кристаллическая корка.

Fig. 1. Steklite aggregates on spherulites. σ — crystal crust.

(2010 г.), температуры: числа и содержаний стеклита в сферулитах оцениваются в 150—170 °C.

Образцы со стеклите измеряли в небольшом куске, толщиной от 1 мм до 3 см маркой. Главный кристалл состоит из зеленого глауконита, имеющего острометрические присадки химических $KCu_4O(SO_4)_3$. В основании коричневатый халькопирит и халькантит. В ассоциации $KCu_4O(SO_4)_3Cl$ находятся гнезда (до 10 см) кристаллов алюмонообменных стеклита, а также и зернистые агрегаты сульфатов, в этой ассоциации — сульфаты Cu_2OCl_2 и $K_2Cu_4(OH)_5Cl \cdot H_2O$ и белые мелкие красные кристаллы разновидности клюевских.

Кристаллы толбачинские встречаются его многою. И те и другие очень тонкими листами достигают 0.2 м и выше — пинакоид {001}, положительно это {100} и ружено микродвойников

тинки. Концентрации стеклита до 0,5 мм в пирокластических ассоциациях вместе с амфиболом и на поверхность кусков аркотида бурого угля в терриконе, как 600—750 °С (Чесноков

0-х годов Международной ассоциации в результате хозяйственных намеренно) или же они тем не менее образовались человеком), не считаются фазами, возникшие в результате. Таким образом, стеклита не менее вошло в употребление в структурам (ICSD) и тем стеклита фигурирует как синтетический $KAl(SO_4)_2$

клена среди фумарольных изобично изучена. Мы сочли важения к авторам первого ряда.

о минерального вида, переведенное в Москве, регистрационный

ЛИТЕРАТУРА

вреда при активном извержении (БГИИ) от вулкана Ильинский Толбачик фумарольную активацию минературы до 480 °С (дано из авторов (М. Е. З.) более ставлена водяным паром и H_2S . Так же, по-видимому, в динамике металлов. Второй 1 км² и высоту 300 м. Здесь лежит фумарольной минерализации дана в целом ряде многие годы посвящавших новых минералов. Базовые архивных сублиматоров Толбачике.

ералогическом отношении проявлений окислительного очень широким разнообразия изменения то же в фумаролах Второго ряда Ядовитая представляется 2 м. Границы покрыты мененных метеорными волнистыми высокой — до 340 °С

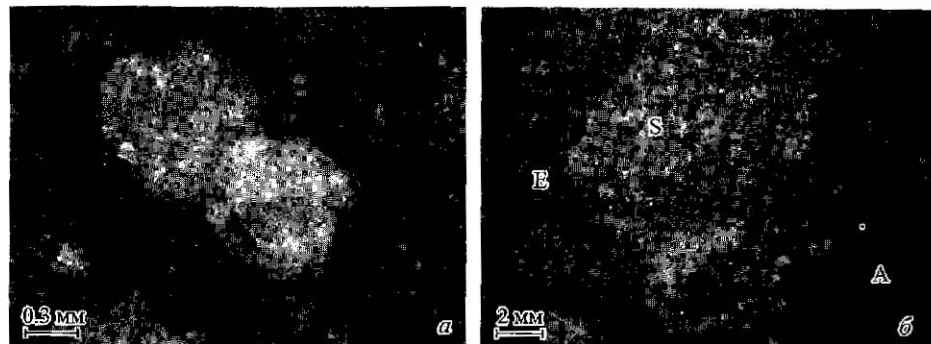


Рис. 1. Агрегаты стеклита на вулканическом шлаке (фумарола Ядовитая, Толбачик). а — скопок сферулитов; б — кристаллическая корочка, S — стеклита; в — алюмоключевскита; г — евхлорина. Фото: И. В. Рекова и А. В. Касаткин.

Fig. 1. Steklate aggregates on volcanic scoria (fumarole Yadovitaya, «Poisonous», Tolbachik); а — cluster of spherulites, б — crystal стеклита S — стеклита, в — алумоключевскита, г — евхлорина. Photographs: I. V. Rekova and A. V. Kasatkin.

(2010 г.), температуры же образования конкретных минеральных ассоциаций, в том числе и содержащей стеклита, с достаточной точностью не установлены. Е. Ю. Быкова и соавторы оценивают температуру газов, которые формируют сульфатную минерализацию, как 150—170 °С (Bykova et al., 1998).

Образцы со стеклита собраны авторами (М. Е. М. и М. Е. З.) в 2008—2010 гг. Этот материал, в изобилии присутствует в составе существенно сульфатных ассоциаций, включая темно-зеленые, покрывающие стены из стенок потока извержения, сливные минералы этих корок — эвхлорин $KNa_2Cu_2(O_2SO_4)_2$, ярко-зеленый и бледно-зеленый цвета. Несколько стеклита сложена пластинчатых кристаллов сульфатом кальция, включая кристаллы, состоящие из тонких пластинчатых кристаллов, или же самое тончайшие ярко-зеленые пластинчатые кристаллы, включенные в структуру расщепленного эвхлорина федотовита $K_2Cu_2SO_4$. В основании этих корок обычно присутствует бесцветный или бледно-коричневатый магнезианит $CuSO_4$, легко изменяющийся при комагнитных условиях в кампакит. В ассоциации с федотовигом отмечены единичные кристаллы кампакита $K_2Cu_2SO_4Cl$ и аглаевита $K_2Cu_2Fe^{2+}V^3+O_2(SO_4)Cl$. Среди эвхлорина встречаются гнезда (до 10 см и даже более) темно-зеленых до почти черных игольчатых кристаллов алюмоключевского $K_3Cu_2AlO_4(SO_4)_2$, с которыми тесно связаны обособления стеклита, а также бесцветные октаэдрические кристаллы, округлые индивиды и веристые агрегаты лангбейнита $K_2Mg_2(SO_4)_2$. Из минералов, не относящихся к сульфатам, в этой ассоциации достаточно широко распространен тематит в виде тонкошершавых агрегатов красного цвета, встречаются единичные кристаллы меланогипса Cu_2OCl_2 и тенорита CuO , небольшие скопления поздних алданитита $K_2Cu_2(OH)_2Cl \cdot H_2O$ и белянита $Cu_2(OH)Cl$. Отметим также ванадаты, нарастающие в виде мелких красных кристаллов на сульфаты: пизит $Cu_2V_2O_7$ (на эвхлорине) и высокомолекулярную разновидность лионеита $Cu_{2-x}(Fe^{2+}, Cu)_4(VO_4)_6$ (как правило, на алюмоключевском).

Кристаллы толбачинского стеклита — гексагональные пластинки, чаще же здесь встречаются его многоугольные, неправильной формы, пластинчатые индивиды. И те и другие очень тонкие, обычно 5—10 мкм, редко до 30 мкм толщиной, а в понеречнике достигают 0,2 мм, крайне редко 1 мм. Граница габитусная форма кристаллов — пирамида {001}. Боковые грани пластинок проинклированы не удалось, предположительно это {100} или {110}. При структурном исследовании минерала обнаружено микродвойникование (см. ниже). Индивиды стеклита зачастую в разной

степени расщеплены, иногда напоминают открытую книгу. Они собраны в ажурные агрегаты неправильной, реже сферической (рис. 1, а) формы. Иногда стеклит формирует, как правило, вместе с эвхлорином, алюмоключевским, лангбейнитом и гематитом, тонкие корочки площадью до 1.5×2.5 см на поверхности вулканического шлака (рис. 1, б).

ФИЗИЧЕСКИЕ СВОЙСТВА И ОПТИЧЕСКИЕ ХАРАКТЕРИСТИКИ

Стеклит с Толбачика прозрачный, бесцветный, в агрегатах белый до сиренево-белого. Чешуя белая, блеск стеклянный. В ультрафиолетовых и катодных лучах минерал не люминесцирует. Спайность совершенная по {001}, излом листоватый. Стеклит хрупкий, а очень тонкие листочки гибки. Твердость по шкале Мооса 2½. Попытки измерить плотность минерала методом уравновешивания в тяжелых жидкостях не дали удовлетворительного результата по причине ажурного характера агрегатов. Вычисленная плотность 2.792 г/см³.

Стеклит оптически одноосный отрицательный, $n_a = 1.546(2)$, $n_p = 1.533(3)$. Под микроскопом он бесцветен.

ХИМИЧЕСКИЙ СОСТАВ

Химический состав толбачинского стеклита определен с помощью сканирующего электронного микроскопа Jeol JSM-6480LV, оснащенного энергодисперсионным спектрометром INCA-Energy 350 (окно ATW-2). Ускоряющее напряжение 20 кВ, ток зонда 1 нА, диаметр зонда 3 мкм. Эталоны: альбит — Na, Al; ортоклаз — K; MgF₂ — Mg; аортит — Ca; металлический Mn — Mn; оливин — Fe; BaSO₄ — S.

Средний по результатам 5 электронно-зондовым анализов (в скобках — разброс значений) химический состав стеклита: Na₂O 0.09 (0.04—0.17), K₂O 18.12 (17.6—18.9), CaO 0.08 (0.03—0.18), MnO 0.03 (0.00—0.09), Fe₂O₃ 2.02 (1.6—2.5), Al₂O₃ 18.18 (17.4—19.3), SO₃ 61.80 (60.6—62.6), сумма 100.37 мас. %. Содержания остальных элементов с атомными номерами 8 оказались ниже пределов обнаружения электронно-зондовым методом.

Эмпирическая формула стеклита, рассчитанная на 8 атомов O, такова: (K_{0.09}Na_{0.08}Ca_{0.04})_{21.00}(Al_{0.92}Fe_{0.06}Mg_{0.005}Mn_{0.001})_{20.99}S_{2.00}O₈. Упрощенная формула: KAl(SO₄)₂, отвечающие ей содержания компонентов: K₂O 18.24, Al₂O₃ 19.74, SO₃ 62.02, сумма 100.00 мас. %.

Индекс сходимости состава и свойств, рассчитанный по уравнению Гладстона—Дейла, составляет 0.005 (*superior*).

РЕНТГЕНОВСКИЕ ДАННЫЕ И КРИСТАЛЛИЧЕСКАЯ СТРУКТУРА

Порошковая рентгенограмма стеклита с Толбачика (табл. 1) получена методом Гандольфи на монокристальном лифрактометре STOE IPDS II (Mo_{Kα}-излучение, расстояние от образца до IP-детектора 200 мм). По ней наш минерал весьма близок к стеклиту из Копейска (Чесноков и др., 1995) и синтетическому KAl(SO₄)₂ (ICDD 74-0082). Рассчитанные из порошкограммы параметры гексагональной (тригональной) ячейки: $a = 4.728(3)$, $c = 8.001(6)$ Å, $V = 154.9(3)$ Å³.

Монокристальное рентгеновское исследование толбачинского стеклита выполнено на лифрактометре Bruker SMART APEX CCD. Минерал тригональный, пространственная группа P321, $a = 4.7281(3)$, $c = 7.9936(5)$ Å, $V = 154.76(17)$ Å³, $Z = 1$. Изученный кристалл оказался микросдвойником. Учет матрицы двойникования по плоскости (001) [100/010/001] привел к снижению величины R-фактора с 22 до 7.3 %. Структура толбачинского стеклита решена прямыми методами и уточнена на

Результаты ра

X-ray

$I_{\text{изм}}$	$d_{\text{изм}}$	$I_{\text{вы}}$
34	8.02	6
11	4.085	12
100	3.649	100.99
51	2.861	29.12
19	2.660	11
25	2.364	37
14	2.267	2.2.2
10	2.034	1.1.1
3	1.983	5.3
12	1.822	6.2
9	1.800	2.13
2	1.629	2
3	1.610	3
9	1.522	2.2.1.1.
2	1.484	3.1
7	1.442	1.1.1.1
5	1.432	4
6	1.365	4
3	1.326	3.3
2	1.266	5.1
3	1.223	1.1
2	1.183	1
2	1.118	2

Примечание. В вычислении $d_{\text{изм}}$ включены расчеты из монокристал

базе 408 независимых от данных монокристально

шь в табл. 2, а координат

В структуре стеклита

рода: координационный

тригональной призмы к

относительно нижнего с

иального призме — 0°). Γ

составляет $\text{Al}_{0.89(3)}\text{Fe}_{0.11(3)}$.

Атомы S находятся в тет

длиной связи 1.471 Å, ч

таний ранее для природ

S—O(2) для мостиковых

рами AlO_6 (1.479 Å), заме

Один симметрично неза

образуя координационные

кубооктаэдр (рис. 2, в, г)

В структурном отн

KAl(SO₄)₂, изученног

Д минерала (рис. 2, а) тетра

с полиэдрами AlO_6 образ

(001) (рис. 2, б). Анионн

Таблица 1

Результаты расчета порошковой рентгенограммы стеклита с Толбачиком

X-ray powder diffraction data for stecklite from Tolbachik

$I_{\text{изм.}}$	$d_{\text{изм.}}$	$I_{\text{расч.}}^*$	$d_{\text{расч.}}^{**}$	hkl
34	8.02	6	7.994	001
11	4.085	12	4.095	100
100	3.649	100, 99	3.644, 3.644	011, 101
51	2.861	29, 12	2.860, 2.860	012, 102
19	2.660	11	2.665	003
25	2.364	37	2.364	110
14	2.267	2, 2, 2	2.267, 2.267, 2.233	111, 111, 103
10	2.034	1, 1, 1	2.047, 2.035, 2.035	200, 112, 112
3	1.983	5, 3	1.983, 1.983	021, 201
12	1.822	6, 2	1.822, 1.822	022, 202
9	1.800	2, 13	1.796, 1.796	014, 104
2	1.629	2	1.623	023
3	1.610	3	1.599	005
9	1.522	2, 2, 1, 1, 1, 1	1.526, 1.526, 1.519, 1.519, 1.519, 1.519	114, 114, 121, 121, 211, 211
2	1.484	3, 1	1.489, 1.489	015, 105
7	1.442	1, 1, 1, 1	1.443, 1.443, 1.443, 1.443	122, 122, 212, 212
5	1.432	4	1.430	024
6	1.365	4	1.365	300
3	1.326	3, 3	1.324, 1.324	115, 115
2	1.266	5, 1	1.267, 1.267	016, 106
3	1.223	1, 1	1.224, 1.224	214, 124
2	1.183	1	1.182	220
7	1.118	2	1.117	206

* Расчетные интенсивности. В валидированную порошковую разноту включены только рефлексы с интенсивностью $I_{\text{расч.}} > 1$. Значения $I_{\text{расч.}}$ рассчитаны для монокристалла под прямым углом.

у. Они собраны в ажурные листы. Иногда стеклит формитом, лангбейнитом и гематитом вулканического шла-

ХАРАКТЕРИСТИКИ

атах белый до серовато-белого и катодных лучах минерал золом листоватый. Стеклит золе Мооса 2½. Попытки измягления жидкостях не дали практика агрегатов. Вычис-

$546(2)$, $n_r = 1.533(3)$. Под

с помощью сканирующего энергодисперсионным щее напряжение 20 кВ, ток 10 нА. АЛ: ортоклаз — К; MgF₂ — Fe; BaSO₄ — S. изов (в скобках — разброс (0.04—0.17), K₂O 18.12, Fe₂O₃ 2.02 (1.6—2.5), Al₂O₃ 19.74, %). Содержания остаточных элементов обнаружения элект-

та 8 атомов. Такова: O_x. Упрощенная формула: $\text{O}_2 \text{O} 18.24, \text{Al}_2\text{O}_3 19.74, \text{SO}_3$

ий по уравнению Гладето-

СТРУКТУРА

табл. 1) получена методом СС II (Mo_{Kα}-излучение, рас- сии минерал весьма близок к химическому $\text{KAl}(\text{SO}_4)_2$ (ICDD

тексагональной (тригональ- нинского стеклита выполнен тригональный, простран- 54.76(17) Å³, Z = 1. Изучен- иатричи автогенитации по величины R-фактора с 22 до 25 методами и уточнена на

базе 408 независимых отражений с $I > 2\sigma(I)$. Кристаллографические характеристики, данные монокристального эксперимента и параметры уточнения структуры приведены в табл. 2, а координаты тепловые параметры атомов и длины связей — в табл. 3.

В структуре стеклита катион Al³⁺ имеет писсерную координацию из атомов кислорода: координационный полигон можно представить в виде переходной формы от тригональной призмы к октаэдру. Угол поворота верхнего треугольного основания относительно нижнего составляет около 10° (в октаэдре он составил бы 30°, в тригональной призме — 0°). Найденная из структурных данных заселенность позиции Al составляет $\text{Al}_{0.865}\text{Fe}_{0.135}$, что коррелирует с данными электронно-зондового анализа. Атомы S находятся в тетраэдрической координации из атомов кислорода со средней длиной связи 1.471 Å, что вполне согласуется со средней величиной 1.473 Å, рассчитанной ранее для природных сульфатов (Hawthorne et al., 2000). При этом расстояния S—O(2) для мостиковых атомов O(2), связывающих сульфатные тетраэдры с полиздрами AlO₆ (1.479 Å), заметно короче, чем S—O(1) для концевых атомов O(1) (1.448 Å). Один симметрично независимый атом калия окружен девятью атомами кислорода, образуя координационный многогранник, который можно описать как искаженный кубооктаэдр (рис. 2, *a*, *c*).

В структурном отношении стеклит — природный аналог синтетического $\text{KAl}(\text{SO}_4)_2$, изученного Дж. М. Маноли и соавторами (Manoli et al., 1970). В структуре минерала (рис. 2, *a*) тетраэдры SO₄ сочленены мостиковыми атомами кислорода O(2) с полиздрами AlO₆, образуя двумерные слои $[\text{Al}(\text{SO}_4)_2]$. Компактные плоскости (001) (рис. 2, *b*). Анионные слои соединяются между собой через катионы K⁺, распо-

Габарита 2

**Кристаллографические данные и параметры уточнения
кристаллической структуры стеклита**

Crystallographic data and parameters of the steklite crystal structure refinement

Кристаллографические параметры

Температура	293 К
Излучение или длина волны	$\lambda_{\text{MoK}\alpha} = 0.71073 \text{ \AA}$
Синтезия	Тригональная
Пространственная группа	$P\bar{3}12$
Параметры элементарной ячейки $a, c (\text{\AA})$	4.7281(3), 7.9936(5)
Объем элементарной ячейки (\AA^3)	154.76(2)
Z	1
$D_{\text{плаг.}} (\text{г}/\text{см}^3)$ из структурных данных	2.805
Коэффициент поглощения (мм^{-1})	1.914
Размеры кристалла (мм ³)	0.10×0.10×0.02
Сбор данных	
Диапазон углов θ	2.55–35.86°
Диапазон значений h, k, l	6 → 7, 6 → 7, 9 → 12
Всего рефлексов	1135
Всего независимых рефлексов (R_{int})	467(0.115)
Независимых рефлексов с $F > 4\sigma(F)$	408
Параметры уточнения структуры	
Метод уточнения	Полиномиальный МНК по F^2
Коэффициент весовой схемы a, b	0.0739, 0.9254
Коэффициент жесткости:	0.09(5)
Линии фиксированные параметры/всего параметры	467/923
$R_1(F) / [4 - \pi(F)]_p$ и $R_2(F) / [4 - \pi(F)]$	0.073, 0.122
$R_{\text{посл.}} / R_{\text{пред.}}$ (по всем данным)	0.070, 0.130
χ^2	1.234
Максимальный и минимальный пики на разностной карте электронной плотности, с \AA^{-3}	1.392, -2.060

Габарита 3

**Координаты и эквивалентные параметры смещений атомов ($U_{\text{eq}}, \text{\AA}^2$)
в структуре стеклита с Толбачика**

**Coordinates and equivalent parameters of displacement of atoms ($U_{\text{eq}}, \text{\AA}^2$)
in crystal structure of steklite from Tolbachik**

АТОМ	x	y	z	U_{eq}
Al	0	0	0	0.0082(11)
S	3/4	1/3	0.7963(3)	0.0085(5)
K	0	0	1/2	0.0225(8)
O(1)	0.75	1/3	0.6152(10)	0.0178(14)
O(2)	0.3487(11)	0.2782(12)	0.8592(7)	0.0138(10)

Длины связей: Al—O(2) = 1.883 Å (6×), S—O(1) = 1.448(8) Å, S—O(2) = 1.479(5) Å (3×), K—O(1) = 2.881(3) Å (6×), K—O(2) = 3.244(5) Å (6×).

Примечание. Зависимость позиции Al = Al_{0.89(3)}Fe_{0.11(3)}.

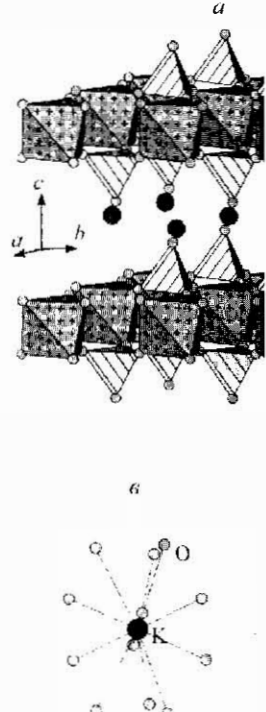


Рис. 2. Общий вид кристалла $[Ca_2Fe_2(SO_4)_3]$ (а), координационных расположениях, черно-белый график

Координационник

Fig. 2. General view of the crystal layer (a), coordination of K in the inter-polyhedron topology of inter-polyhedron.

лагают ся в межслоистость, выраженная в расстояниях, синтетического KAl(SC)₃ ского стеклита не обнаружена.

Топология алюмосиликатного двумерного графа, изображенного соответственно по ре стеклита идентичен (1971; Anthony et al., 1998). Анионными слоями групами синтетического стеклита не обнаружены.

Б. В. Чесноков и соавторы, указали на изоструктуру стеклита и гидровиллит, что кристаллическая структура сомнений: судя по химическому аналогу без железа

Таблица 2

относящиеся к

structure refinement

293 K
 $\kappa_{\text{eff}} = 0.71073 \text{ A}$
 моногидрат
 $P312$
 $a = 7.9936(5)$
 $c = 154.76(2)$
 $V = 2.805$
 1.914
 $0 \times 0.10 \times 0.02$

$\Sigma = 35.86^\circ$
 $1.6 - 7.9 \rightarrow 12$
 1135
 $1670(115)$
 408

ритмический МИК по F^2
 1739 ± 0.9254
 $0.09(2)$
 467 ± 0.23

$\Delta T = 0.02$
 1790 ± 0.19
 $+0.234$
 -0.232

Таблица 3

томов (U_{eq} , Å 2)атомов (U_{eq} , Å 2)

ик	U_{eq}
1	0.0082(11)
2	0.0085(5)
3	0.0225(8)
4	0.0178(14)
5	0.0138(10)

$\Sigma(2) = 1.479(5) \text{ A}$ (3×),
 (6×)

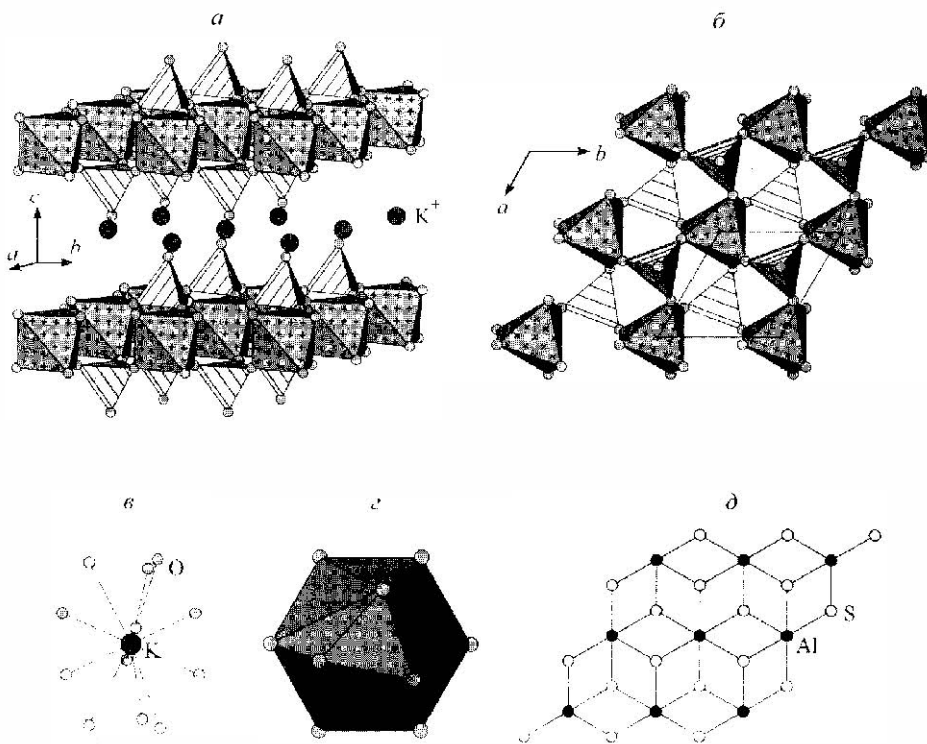


Рис. 2. Общий вид кристаллической структуры стеклита с Толбачика (a), строение слоя $[\text{Al}(\text{Fe})(\text{SO}_4)_2]$ (b), координационный полигон атома К в шариковом (c) и полизадрическом (d) изображениях. Чёрно-белый график описывает топологию объединения координационных полизадров Al и S (d).

Координационные полизадры Al размечены крестиками, тетраэдры SO_4 разинованы

[Fig. 2. General view of the crystal structure of steklite from Tolbachik (a), structure of the $[\text{Al}(\text{Fe})(\text{SO}_4)_2]$ layer (b), coordination of K in ball-like (c) and polyhedral (d) representations, black-and-white graph describing topology of inter-polyhedral linkage in steklite (d). Al polyhedra are cross-hatched. S polyhedra — lined.]

лагают друг в друге в межслоевом пространстве. Отметим, что структурная разупорядоченность, выраженная в развороте полизадров AlO_6 соседних слоев, зафиксированная для синтетического $\text{KAl}(\text{SO}_4)_2$ Д. В. Уэстом с соавторами (West et al., 2008), у толбачинского стеклита не обнаружена.

Топология алюмоусульфатного слоя в стеклите может быть описана при помощи двумерного графа, изображенного на рис. 2, d (чёрные и белые вершины символизируют соответственно полизадры Al и S). По своей топологии слой $[\text{Al}(\text{SO}_4)_2]$ в структуре стеклита идентичен слоям $[\text{Fe}(\text{SO}_4)_2]$ у явапайита $\text{KFe}(\text{SO}_4)_2$ (Graeber, Rosenzweig, 1971; Anthony et al., 1972) и $[\text{Mg}(\text{PO}_4)_2]$ у брайанита $\text{Na}_2\text{CaMg}(\text{PO}_4)_2$ (Alkemper, Fuess, 1998). Анионными слоями такой топологии, но разного состава обладает также большая группа синтетических соединений (Krivovichev, 2008).

Б. В. Чесноков и соавторы (1995), базируясь на порошковых рентгеновских данных, указали на изоструктурность двух минералов из горелых отвалов Копейска: стеклита и годовиковита $(\text{NH}_4)(\text{Al}, \text{Fe})^+(\text{SO}_4)_2$ (Цербакова и др., 1988). Несмотря на то что кристаллическая структура последнего до сих пор не изучена, этот вывод не вызывает сомнений: судя по стехиометрии и порошковым граваммам, годовиковит и его синтетический аналог без железа $(\text{NH}_4)\text{Al}(\text{SO}_4)_2$ (ICDD 23-0001) изоструктурны стеклиту.

Список литературы

- Большое трещинное Толбачинское извержение, Камчатка, 1975—1976 (ред. С. А. Федотов). М.: Наука, 1984. 637 с.
- Верескова Л. П., Филиппов С. К. Минералы вулканических экстазиатий — особая генетическая группа (по материалам Толбачинского извержения 1975—1976 гг.) // ЗВМО. 1993. Вып. 4. С. 68—76.
- Чесноков Б. В., Баженова Л. Ф., Бушмакин А. Ф., Комляров В. А., Белоуб Е. В., Велисов В. А., Ключев А. Ю. Новые минералы из горелых отвалов Челябинского угольного бассейна (сообщение седьмое) // Уральский минералогический сборник, № 4. Миасс, 1995. С. 3—28.
- Щербакова Е. П., Баженова Л. Ф., Чесноков Б. В. Годовиковит $\text{Na}_4(\text{Al}, \text{Fe})(\text{SO}_4)_2$ — новый аммонийсодержащий сульфат // ЗВМО. 1988. Вып. 2. С. 208—211.
- Alkemper J., Fuess H. The crystal structures of NaMgPO_4 , $\text{Na}_2\text{CaMg}(\text{PO}_4)_2$ and $\text{Na}_{18}\text{Ca}_{13}\text{Mg}_3(\text{PO}_4)_{18}$: new examples for glaserite related structures // Zeit. Kristallogr. 1998. Vol. 213. P. 282—287.
- Anthony J. W., McLean W. J., Laughon R. B. The crystal structure of yavapaiite: a discussion // Amer. Miner. 1972. Vol. 57. P. 1546—1549.
- Bykova E. Y., Berlepsch P., Kartashov P. M., Bruegger J., Armbruster T., Criddle A. J. Vergasovite $\text{Cu}_2\text{O}[\text{Mo}_2\text{S}_3\text{O}_4][\text{SO}_4]$, a new copper-oxy-molybdate-sulfate from Kamchatka // Schweiz. Miner. Petrogr. 1998. Vol. 78. P. 479—488.
- Graeber E. J., Rosenzweig A. The crystal structures of yavapaiite, $\text{KFeSO}_4 \cdot 2\text{H}_2\text{O}$, and goldichite, $\text{KFe}(\text{SO}_4)_2 \cdot 2\text{H}_2\text{O}$ // Amer. Miner. 1971. Vol. 56. P. 1917—1933.
- Hawthorne F. C., Krivovichev S. V., Burns P. C. Crystal chemistry of sulfate minerals // Rev. Miner. Geochem. 2000. Vol. 40. P. 1—112.
- Krivovichev S. V. Structural Crystallography of Inorganic Oxsalts. Oxford University Press, Oxford, 2008. 303 p.
- Lapham D. M., Barnes J. H., Downey W. Jr., Fricker R. B. Mineralogy associated with burning anthracite deposits of Eastern Pennsylvania // Reports of the Commonwealth of Pennsylvania Dept. of Environmental Resources, Bureau of Topographic and Geologic Survey, Mineral Resources. 1980. Vol. 78. 82 p.
- Manoli J. M., Herpin P., Pannetier G. Structure cristalline du sulfate double d'aluminium et de potassium // Bull. Soc. Chim. de France. 1970. P. 98—101.
- Mitrofan Y. Volcanic sublimates and incrustations from Showachinzan // Earth Sci. Nagoya Univ. 1962. Vol. 10. P. 135—148.
- Stoiber R. E., Rose W. I., Jr. Fumarole incrustations at active Central American volcanoes // Geodinamika Cosmochim. Acta. 1974. Vol. 38(4). P. 495—516.
- Weiss D. V., Huang Q., Zandbergen H. W., McQueen T. M., Cave R. J. Structural disorder, octahedral coordination and two-dimensional ferromagnetism in anhydrous alums // J. Solid State Chem. 2008. Vol. 181. P. 2768—2775.

УДК 549.9

К С

Санкт-Петербургский
кафедра кристалла

Мы на пороге столетия, го-
дитя. Явление дифракции ре-
волюционное развитие и позволило
жизни стали вкладом в форми-
рование окончательно кристаллической
мации об этом событии ее
сопровождали.

Ключевые слова: столетие
рентгеновских лучей, период

ХХ столетия, 1912

We are at the edge of the centennial anniversary of the phenomenon of X-ray diffraction. This is a revolution in science and technology, which has become a major contribution to the formation of crystallography. This event was accompanied by its own milestones.

Key words: centennial anniversary of crystal structures, atomic

В 1912 году была открыта дифракция рентгеновских лучей на кристаллах, что привело к формированию кристаллографии. Так наступил

Упомянутые этапы рентгеновской дифракции определили формирование кристаллографии. Так наступил

В XIX веке сформировалась концепция атомистической моделью вещества.

В 1912 году были открыты

Упомянутые этапы рентгеновской дифракции определили формирование кристаллографии. Так наступил

В 1912 году были открыты

Упомянутые этапы рентгеновской дифракции определили формирование кристаллографии. Так наступил

В 1912 году были открыты

Упомянутые этапы рентгеновской дифракции определили формирование кристаллографии. Так наступил

В 1912 году были открыты

Упомянутые этапы рентгеновской дифракции определили формирование кристаллографии. Так наступил

В 1912 году были открыты

Упомянутые этапы рентгеновской дифракции определили формирование кристаллографии. Так наступил

В 1912 году были открыты

Упомянутые этапы рентгеновской дифракции определили формирование кристаллографии. Так наступил

В 1912 году были открыты

Упомянутые этапы рентгеновской дифракции определили формирование кристаллографии. Так наступил

В 1912 году были открыты

Упомянутые этапы рентгеновской дифракции определили формирование кристаллографии. Так наступил

В 1912 году были открыты

Упомянутые этапы рентгеновской дифракции определили формирование кристаллографии. Так наступил

В 1912 году были открыты

Упомянутые этапы рентгеновской дифракции определили формирование кристаллографии. Так наступил

В 1912 году были открыты

Упомянутые этапы рентгеновской дифракции определили формирование кристаллографии. Так наступил

В 1912 году были открыты

Упомянутые этапы рентгеновской дифракции определили формирование кристаллографии. Так наступил

В 1912 году были открыты

Упомянутые этапы рентгеновской дифракции определили формирование кристаллографии. Так наступил

В 1912 году были открыты

Упомянутые этапы рентгеновской дифракции определили формирование кристаллографии. Так наступил

В 1912 году были открыты

Упомянутые этапы рентгеновской дифракции определили формирование кристаллографии. Так наступил

В 1912 году были открыты

Упомянутые этапы рентгеновской дифракции определили формирование кристаллографии. Так наступил

В 1912 году были открыты

Упомянутые этапы рентгеновской дифракции определили формирование кристаллографии. Так наступил

В 1912 году были открыты

Упомянутые этапы рентгеновской дифракции определили формирование кристаллографии. Так наступил

В 1912 году были открыты

Упомянутые этапы рентгеновской дифракции определили формирование кристаллографии. Так наступил

В 1912 году были открыты

Упомянутые этапы рентгеновской дифракции определили формирование кристаллографии. Так наступил

В 1912 году были открыты

Упомянутые этапы рентгеновской дифракции определили формирование кристаллографии. Так наступил

В 1912 году были открыты

Упомянутые этапы рентгеновской дифракции определили формирование кристаллографии. Так наступил

В 1912 году были открыты

Упомянутые этапы рентгеновской дифракции определили формирование кристаллографии. Так наступил

В 1912 году были открыты

Упомянутые этапы рентгеновской дифракции определили формирование кристаллографии. Так наступил

В 1912 году были открыты

Упомянутые этапы рентгеновской дифракции определили формирование кристаллографии. Так наступил

В 1912 году были открыты

Упомянутые этапы рентгеновской дифракции определили формирование кристаллографии. Так наступил

В 1912 году были открыты

Упомянутые этапы рентгеновской дифракции определили формирование кристаллографии. Так наступил

В 1912 году были открыты

Упомянутые этапы рентгеновской дифракции определили формирование кристаллографии. Так наступил

В 1912 году были открыты

Упомянутые этапы рентгеновской дифракции определили формирование кристаллографии. Так наступил

В 1912 году были открыты

Упомянутые этапы рентгеновской дифракции определили формирование кристаллографии. Так наступил

В 1912 году были открыты

Упомянутые этапы рентгеновской дифракции определили формирование кристаллографии. Так наступил

В 1912 году были открыты

Упомянутые этапы рентгеновской дифракции определили формирование кристаллографии. Так наступил

В 1912 году были открыты

Упомянутые этапы рентгеновской дифракции определили формирование кристаллографии. Так наступил

В 1912 году были открыты

Упомянутые этапы рентгеновской дифракции определили формирование кристаллографии. Так наступил

В 1912 году были открыты

Упомянутые этапы рентгеновской дифракции определили формирование кристаллографии. Так наступил

В 1912 году были открыты

Упомянутые этапы рентгеновской дифракции определили формирование кристаллографии. Так наступил

В 1912 году были открыты

Упомянутые этапы рентгеновской дифракции определили формирование кристаллографии. Так наступил

В 1912 году были открыты

Упомянутые этапы рентгеновской дифракции определили формирование кристаллографии. Так наступил

В 1912 году были открыты

Упомянутые этапы рентгеновской дифракции определили формирование кристаллографии. Так наступил

В 1912 году были открыты

Упомянутые этапы рентгеновской дифракции определили формирование кристаллографии. Так наступил

В 1912 году были открыты

Упомянутые этапы рентгеновской дифракции определили формирование кристаллографии. Так наступил

В 1912 году были открыты

Упомянутые этапы рентгеновской дифракции определили формирование кристаллографии. Так наступил

В 1912 году были открыты

Упомянутые этапы рентгеновской дифракции определили формирование кристаллографии. Так наступил

В 1912 году были открыты

Упомянутые этапы рентгеновской дифракции определили формирование кристаллографии. Так наступил

В 1912 году были открыты

Упомянутые этапы рентгеновской дифракции определили формирование кристаллографии. Так наступил

В 1912 году были открыты

Упомянутые этапы рентгеновской дифракции определили формирование кристаллографии. Так наступил

В 1912 году были открыты

Упомянутые этапы рентгеновской дифракции определили формирование кристаллографии. Так наступил

В 1912 году были открыты

Упомянутые этапы рентгеновской дифракции определили формирование кристаллографии. Так наступил

В 1912 году были открыты

Упомянутые этапы рентгеновской дифракции определили формирование кристаллографии. Так наступил

В 1912 году были открыты

Упомянутые этапы рентгеновской дифракции определили формирование кристаллографии. Так наступил

В 1912 году были открыты

Упомянутые этапы рентгеновской дифракции определили формирование кристаллографии. Так наступил

В 1912 году были открыты

Упомянутые этапы рентгеновской дифракции определили формирование кристаллографии. Так наступил

В 1912 году были открыты

Упомянутые этапы рентгеновской дифракции определили формирование кристаллографии. Так наступил

В 1912 году были открыты

Упомянутые этапы рентгеновской дифракции определили формирование кристаллографии. Так наступил

В 1912 году были открыты

Упомянутые этапы рентгеновской дифракции определили формирование кристаллографии. Так наступил

В 1912 году были открыты

Упомянутые этапы рентгеновской дифракции определили формирование кристаллографии. Так наступил

В 1912 году были открыты

Упомянутые этапы рентгеновской дифракции определили формирование кристаллографии. Так наступил

В 1912 году были открыты

Упомянутые этапы рентгеновской дифракции определили формирование кристаллографии. Так наступил

В 1912 году были открыты

Упомянутые этапы рентгеновской дифракции определили формирование кристаллографии. Так наступил

В 1912 году были открыты

Упомянутые этапы рентгеновской дифракции определили формирование кристаллографии. Так наступил

В 1912 году были открыты

Упомянутые этапы рентгеновской дифракции определили формирование кристаллографии. Так наступил

В 1912 году были открыты

Упомянутые этапы рентгеновской дифракции определили формирование кристаллографии. Так наступил

В 1912 году были открыты

Упомянутые этапы рентгеновской дифракции определили формирование кристаллографии. Так наступил

В 1912 году были открыты

Упомянутые этапы рентгеновской дифракции определили формирование кристаллографии. Так наступил

В 1912 году были открыты

Упомянутые этапы рентгеновской дифракции определили формирование кристаллографии. Так наступил

В 1912 году были открыты

Упомянутые этапы рентгеновской дифракции определили формирование кристаллографии. Так наступил

В 1912 году были открыты

Упомянутые этапы рентгеновской дифракции определили формирование кристаллографии. Так наступил

В 1912 году были открыты

Упомянутые этапы рентгеновской дифракции определили формирование кристаллографии. Так наступил

В 1912 году были открыты

Упомянутые этапы рентгеновской дифракции определили формирование кристаллографии. Так наступил

В 1912 году были открыты

Упомянутые этапы рентгеновской дифракции определили формирование кристаллографии. Так наступил

В 1912 году были открыты

Упомянутые этапы рентгеновской дифракции определили формирование кристаллографии. Так наступил

В 1912 году были открыты

Упомянутые этапы рентгеновской дифракции определили формирование кристаллографии. Так наступил

В 1912 году были открыты

Упомянутые этапы рентгеновской дифракции определили формирование кристаллографии. Так наступил

В 1912 году были открыты

Упомянутые этапы рентгеновской дифракции определили формирование кристаллографии. Так наступил

В 1912 году были открыты

Упомянутые этапы рентгеновской дифракции определили формирование кристаллографии. Так наступил

В 1912 году были открыты

Упомянутые этапы рентгеновской дифракции определили формирование кристаллографии. Так наступил

В 1912 году были открыты

Упомянутые этапы рентгеновской дифракции определили формирование кристаллографии. Так наступил

В 1912 году были открыты

Упомянутые этапы рентгеновской дифракции определили формирование кристаллографии. Так наступил

В 1912 году были открыты

Упомянутые этапы рентгеновской дифракции определили формирование кристаллографии. Так наступил

В 1912 году были открыты

Упомянутые этапы рентгеновской дифракции определили формирование кристаллографии. Так наступил</p